

УФК 549.621.97 + 552.18

ПЕТРОГРАФИЯ

С. П. КОРИКОВСКИЙ, В. А. ЗУЕВ

**ЗОНАЛЬНОСТЬ В ПИРОП-АЛЬМАНДИНОВЫХ ГРАНАТАХ  
ПРИ ВОЗНИКНОВЕНИИ КОРДИЕРИТОВЫХ КЕЛИФИТОВЫХ  
ОТОРОЧЕК**

(Представлено академиком Д. С. Коржинским 30 VI 1969)

В высокотемпературных метапелитах самой различной глубинности часто наблюдаются реакционные келифитовые каймы вокруг граната, сложенные кордиеритом с вrostками кварца, шпинели, гиперстена или сапфира. Поскольку кордиерит гораздо более магнезиальный минерал, чем гранат, можно предположить, что в ходе замещения первоначальная железистость граната должна изменяться.

Были изучены при помощи микрозонда два образца гранатов; результаты приведены на рис. 1 и 2.

Обр. П-3621 — биотит-гранат-кордиерит-силлimanит-микроклин-плагиоклаз-кварцевый сланец из силлиманит-микроклиновой зоны удоканской серии в пределах хр. Кодар<sup>(1)</sup>. Это наиболее высокотемпературная зона в регионально-метаморфическом ореоле андалузит-силлиманитового типа; в бедных CaO сланцах мусковит уже полностью неустойчив, но гиперстен в парагенезисе с микроклином еще не образуется (рис. 3, 1, 2). Округлые кристаллы граната размером 1,5—2 мм повсеместно окружены кордиеритовыми каймами с вrostками кварца; ширина каемок 0,1—5 мм. Каймы возникают независимо от того, находится ли гранат в контакте с плагиоклазом, микроклином, кварцем или силлиманитом. На рис. 1 показано расположение изученных сечений в выбранном зерне граната и изменение в содержании FeO и MnO. В сечении A—A' (количество MnO не изменилось) содержание FeO симметрично возрастает от центра зерна (25,8—26,2 вес. %) к краям (28—28,2 вес. %), т. е. разница составляет 2—2,4 вес. % FeO. В сечении B—B' содержание FeO повышается от 28,3—29,0 до 31,6 вес. % лишь к тому краю граната, который окружен кордиерит-кварцевой каймой, тогда как в контакте с биотитом железистость та же, что и в центре кристалла. В то же время количество MnO снижается к краям кристалла от 3,0 до 2,4 вес. %, т. е. значительно менее резко, чем содержание FeO. В гранатах из кордиерит-силлиманитовых ассоциаций удоканской серии, подобных обр. П-3621, содержание CaO примерно постоянно и равно 0,8—1,2%; содержание MnO уменьшается к краям, но всего лишь на 0,6 вес. % (сечение B—B'). Поэтому ясно, что резкая разница в железистости краев и центра кристалла (на 2—2,4% в сечении A—A' и 2,6—3,3% в сечении B—B') связана преимущественно с уменьшением содержания MgO, что подтверждается и химическими анализами гранатов. Даже если принять количество MgO постоянным, общая железистость (Fe / (Fe + Mg)) центра зерна в сечении A—A' соответствует 81%, с краев 82,5%; в сечении B—B' — центр зерна и в контакте с биотитом 82%, в контакте с кордиеритом 84%. Таким образом, в контакте с кордиерит-кварцевой каймой железистость граната возрастает по меньшей мере на 2%, а учитывая уменьшение MgO — на 5%.

Обр. Е-1252/1в (из коллекции Н. Г. Кисляковой) — гиперстен-гранат-кордиерит-микропертит-кварцевый гранулит с небольшим количеством биотита; обнаружен в толще гиперстен-силлиманитовых сланцев юга Алданского щита, соответствующих наиболее глубинному в мире сутам-

скому комплексу (2). В этом комплексе обычен парагенезис гиперстен (с 10—11 вес. %  $\text{Al}_2\text{O}_3$ ) + силлиманит; общая железистость граната в ассоциации гиперстен + силлиманит + гранат + микропертит  $\pm$  биотит + кварц, согласно химическим анализам, 45—47 %, содержание  $\text{CaO}$  0,5—1,0,  $\text{MnO}$  0,3—0,5 вес. %. Зерна граната, особенно в контактах с кварцем или микропертитом, замещаются кордиерит-гиперстеновыми симплексами.

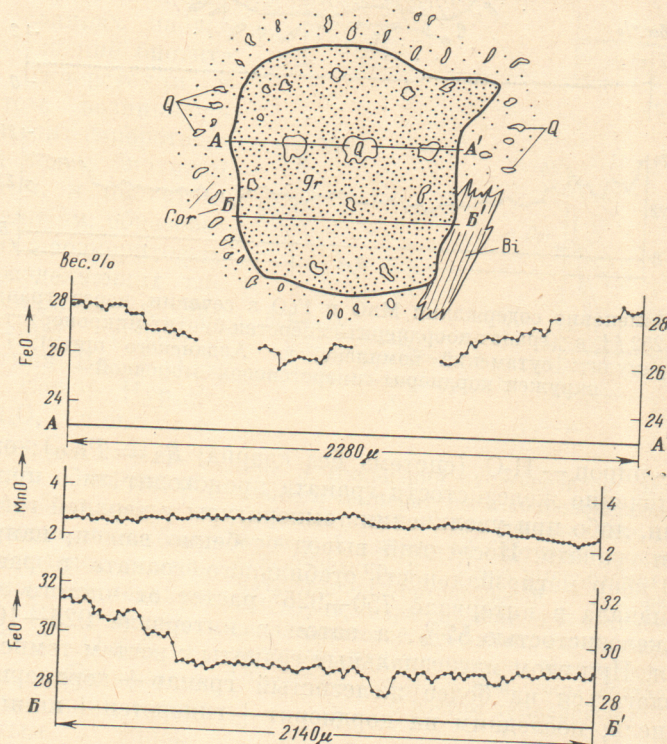


Рис. 1. Изменение содержания  $\text{MnO}$  и  $\text{FeO}$  в сечениях через гранат из обр. П-3621 (биотит-гранат-кордиерит-силлиманит-микроклин-плагиоклаз-кварцевый сланец; удоканская серия; хр. Кодар). Гранат окружен кордиерит-кварцевой оторочкой

титами; вростки гиперстена внутри кордиеритовых кайм всегда более магнезиальны, чем крупные зерна первичного гиперстена в самой породе. На рис. 2 показано положение сечения в зерне граната и изменение его состава. Как и в обр. П-3621, в данном гранате есть магнезиальная средняя часть (21,8—22,0 вес. %  $\text{FeO}$ ) и более железистая внешняя кайма, контактирующая с кордиеритовой оторочкой (23,2—24 вес. %  $\text{FeO}$ ). Содержание  $\text{MnO}$  практически не меняется. Общая железистость ( $F$ ) граната в процессе нарастания кордиерит-гиперстеновой каймы возрастает от 46 % (центр) до 48 % (край зерна в контакте с кордиеритом).

Таким образом, изучение гранатов, окруженных кордиеритовыми каймами, в комплексах совершенно различной глубинности и температурности показывает, что это замещение сопровождается возрастанием общей железистости граната в краевой реакционной зоне. В данном случае увеличение содержания  $\text{FeO}$  не компенсируется уменьшением количества  $\text{MnO}$ , как это наблюдается в средне- и низкотемпературных гранатах (3), в которых обогащение краевой части  $\text{FeO}$  за счет обеднения  $\text{MnO}$  происходит на фоне общего роста магнезиальности граната.

Влияние температуры и давления на устойчивость гранатов рассмотрено Йодером и Чиннером (5) при экспериментальном изучении системы

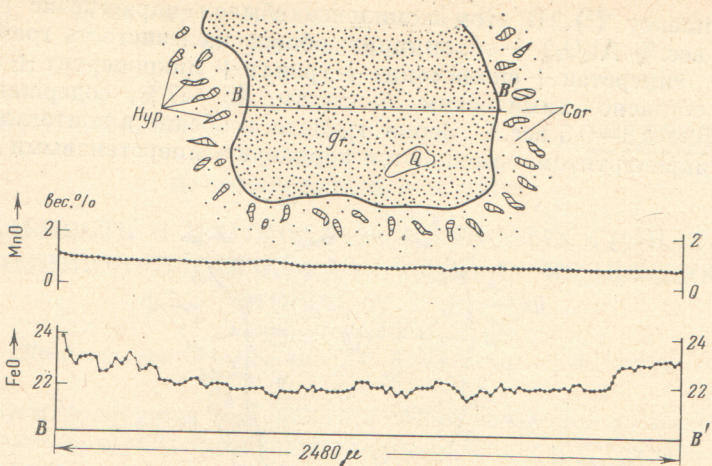


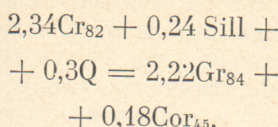
Рис. 2. Изменение содержания  $MnO$  и  $FeO$  в сечении через гранат из обр. Е-1252/1 в (гранат-коордиерит-гиперстен-биотит-микропертит-кварцевый гранулит; сутамский комплекс; юг Алданского щита). Гранат окружен кордиерит-гиперстеновой оторочкой

альмандин — пироп —  $H_2O$  (система без кварца;  $P_S = P_{H_2O}$ ); они показали, что увеличение железистости граната происходит либо при уменьшении давления, либо при увеличении температуры у верхней границы поля стабильности граната. Последний вывод особенно важен; например, для давления 10 кбар магнезиальность стабильного граната в равновесии с жедритом сначала в интервале 750—925° растет от чистого альмандина до граната железистостью 57%, а затем в интервале 925—1030° вновь уменьшается. При этом магнезиальные гранаты с ростом температуры начинают разлагаться на более железистый гранат + кордиерит + гиперстен + шпинель; последним на кордиерит + гиперстен + шпинель распадается чистый альмандин.

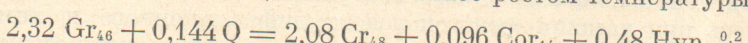
Эти экспериментальные данные и парагенетическое изучение сланцев с такими структурами позволяет рассматривать образование кордиеритовых кайм вокруг граната как эндотермическую метаморфическую реакцию, вызванную ростом температуры. Петрографические наблюдения в тех же шлифах показывают, что вместе с образованием келифитовых кайм в породе идут реакции, однозначно указывающие на повышение температуры. В обр. П-3621, кроме кордиерит-кварцевых оторочек вокруг граната образуется кордиеритовая кайма, разделяющая биотит и силлиманит, так что силлиманит сохраняется исключительно внутри кордиерита, нигде не соприкасаясь с биотитом. Это характерная реакция, указывающая на переход от более низкотемпературной биотит-силлиманит-ортоклазовой субфации к более высокотемпературной гранат-кордиеритовой (2). При этом параллельно моновариантной реакции\*  $Bi + Sill + Q = Cor + Gr + Ort + H_2O$  происходят реакции типа  $Cor_{Mg} + Bi + Sill + Q = Cor_{Fe} + Ort + H_2O$ , способствующие образованию все более железистых кордиеритов. Одновременно относительно магнезиальный гранат начинает разлагаться на более железистый гранат + кордиерит, результатом чего и является образование кордиеритовых кайм и возникновение в гранате зональности с более железистой краевой частью (рис. 1). Смена парагенезисов показана на рис. 3, 1, 2; изменение состава граната описывается эндо-

\* Здесь и далее следующие обозначения минералов:  $Bi$  — биотит;  $Cor$  — кордиерит,  $Fspk-n_a$  — микропертит,  $Gr$  — пироп-альмандиновый гранат,  $Hyp^{0.2}$  — глиноземистый гиперстен с содержанием  $Al$  0,2 на формульную единицу,  $Ort$  — калиевый полевой шпат,  $Pt$  — плагиоклаз,  $Q$  — кварц,  $Sill$  — силлиманит. Цифра в нижнем индексе у минерала — его общая железистость.

термической реакцией:



В обр. E-1252/1в и вмещающих сланцах наблюдается замещение биотита с краев гиперстеном и кордиеритом, возникновение кордиерит-гиперстеновых кайм между биотитом и гранатом, и биотитом, и силлиманитом, образование тонких кордиеритовых каемок, разделяющих гиперстен+силлиманит. Эндоцермический характер реакций типа  $\text{Bi}_\text{Fe} + \text{Q} = \text{Bi}_\text{Mg} + \text{Cor} + \text{Hyp} + \text{Ort} + \text{H}_2\text{O}$ , или  $\text{Bi} + \text{Gr} + \text{Q} = \text{Cor} + \text{Hyp} + \text{Ort} + \text{H}_2\text{O}$ , ограничивающих стабильность и число парагенезисов биотита, не вызывает сомнений. Как показал недавно В. Шрейер (<sup>4</sup>), реакция  $\text{Cor} = \text{Hyp}^{\text{Al}} + \text{Al}_2\text{SiO}_5 + \text{Q}$  (т. е. образование кордиеритовых кайм между глиноземистым гиперстеном и силлиманитом) также вызывается (при  $P = \text{const}$ ) повышением температуры. Одновременно с данными реакциями начинается и разложение магнезиальных гранатов, тоже вызванное ростом температуры:



В результате возникают кордиерит-гиперстеновые каймы вокруг граната, а его железистость вблизи реакционной зоны повышается. Все эти процессы означают смену парагенезисов, соответствующую переходу от более «низкотемпературной» гиперстен-силлиманитовой субфации к более высокотемпературной гранат-кордиеритовой (рис. 3, 3, 4).

По-видимому, неуклонное повышение магнезиальности граната в метапелитах, наблюдающееся с переходом от зеленосланцевой фации к субграутиловой, приостанавливается на границе с гранат-кордиерит-ортоклазовой субфацией, и далее сменяется обратной тенденцией.

Институт геологии рудных месторождений,  
петрографии, минералогии и геохимии  
Академии наук СССР  
Москва

Поступило  
19 VI 1969

#### ЦИТИРОВАННАЯ ЛИТЕРАТУРА

- <sup>1</sup> С. П. Кориковский, Метаморфизм, гранитизация и постмагматические процессы в докембрии Удокано-Становой зоны, «Наука», 1967. <sup>2</sup> А. А. Маракулов, Проблемы минеральных фаций метаморфических и метасоматических горных пород, «Наука», 1965. <sup>3</sup> M. P. Atherton, Contr. Min. Petr., 18, № 4 (1968). <sup>4</sup> W. Schreyer, Carnegie Inst. Washington, Year Book, 66 (1967). <sup>5</sup> H. S. Yoder, G. A. Chinner, Carnegie Inst. Washington, Year Book, 59 (1960).

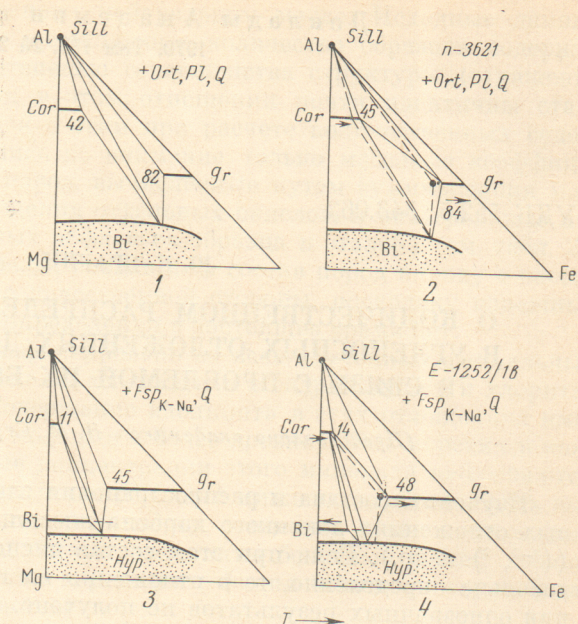


Рис. 3. Изменения парагенезисов, вызванные повышением температуры и сопровождающие рост келифитовых кайм вокруг граната. Обр. П-3621, парагенезисы: 1 — исходной биотит-силлиманит-ортоклазовой субфации, 2 — более высокотемпературной гранат-кордиерит-ортоклазовой субфации. Обр. E-1252 / 1в, парагенезисы: 3 — исходной гиперстен-силлиманитовой субфации, 4 — более высокотемпературной гранат-кордиерит-ортоклазовой субфации. Стрелками показано изменение состава минералов с ростом температуры